

П.В. Галій

ОСОБЛИВОСТІ КРИСТАЛОГРАФІЇ ПОВЕРХОНЬ СКОЛЮВАННЯ (100) ШАРУВАТИХ НАПІВПРОВІДНИКОВИХ КРИСТАЛІВ In_4Se_3

Львівський національний університет імені Івана Франка, факультет електроніки
бул. Драгоманова, 50, Львів, 79005, Україна, E-mail: galiy@electronics.lnu.edu.ua

Наведено результати структурних досліджень шарувато-ланцюжкових напівпровідникових кристалів In_4Se_3 методом X-променевої дифрактометрії та їх поверхонь сколювання (100) методом дифракції повільних електронів (ДПЕ). Показано, що поверхні сколювання (100) In_4Se_3 є структурно стабільними і не зазнають атомної реконструкції у широкому температурному діапазоні 77–295 K. Проведені оцінки сталих двовимірної тратки, що знаходяться у площині поверхонь сколювання (100) шаруватих орторомбічних кристалів In_4Se_3 , за дифракційними картинами. Одержані результати розрахунків сталих поверхневих траток $b = 11.475 \text{ \AA}$ та $c = 3.734 \text{ \AA}$ співпадають, у межах похибок, з їх значеннями, одержаними методом X-дифрактометрії ($b = 12.308(1) \text{ \AA}$ та $c = 4.0810(5) \text{ \AA}$), що вказує на адекватність використаної моделі для розрахунку сталих траток поверхонь сколювання (100) In_4Se_3 за результатами ДПЕ. Цим самим показано, що окрім того, що поверхні сколювання (100) In_4Se_3 є структурно стабільними щодо симетрії поверхневої тратки, вони не зазнають температурної атомної реконструкції, і сталі поверхневої тратки залишаються слабкозмінними у широкому температурному діапазоні 77–295 K у межах температурного видовження.

Ключові слова: шарувато-ланцюжкові напівпровідникові кристали, поверхня сколювання (100) In_4Se_3 , структурні дослідження

ВСТУП

Серед методів дослідження поверхні наноструктурованих матеріалів напівпровідникової електроніки провідне місце посідають методи електронної спектроскопії та сучасні зондові методи скануючих мікроскопій [1, 2], які є винятково інформативними. Мікроскопічними характеристиками поверхні, окрім елементно-фазового складу, електронно-енергетичної структури та електронних спектрів є: геометрія розміщення атомів на поверхні – атомна структура, кристалографія поверхні, динаміка атомів або ж фононні спектри поверхні, що визначають її властивості.

Одним із методів електронної спектроскопії поверхні, що дає можливість безпосередньо отримувати інформацію про кристалографію поверхні, є дифракція повільних електронів (ДПЕ) [3–5]. Використанням ДПЕ можна дізнатися про двовимірні структури та їх параметри на поверхні, можливу реконструкцію як самих поверхонь, так і сформованих на ній поверхневих структур [1–4].

Відомо, що поверхня твердої фази, як межа поділу, для значної кількості сполук має багато особливостей, відмінних від об'єму – свою кристалографію, електронно-енергетичну структуру, електронні та фононні спектри, термодинамічні характеристики [3–5]. З поверхнею твердих тіл пов'язані численні атомні процеси: адсорбція і десорбція атомів і молекул, дисоціація молекул, міграція атомів по поверхні, дифузія їх в об'єм, каталіз та ін. [3–5]. Рівень розуміння цих і багатьох інших поверхневих явищ визначає прогрес у таких важливих областях науки і технологій, як тонкоплівкова мікро- і наноелектроніка, каталіз, нанотехнологія і наноінженерія.

Шаруваті напівпровідникові кристали (ШК) In_4Se_3 із сильною ковалентно-іонною взаємодією всередині шару та слабким ван-дер-ваальсівським зв'язком між шарами [6], як і їх поверхні сколювання (ПС) (100), є об'єктами сучасних досліджень [1, 2, 7–9], приводячи до нового осмислення властивостей низькорозмірних (2D) та ланцюжково-подібних структур і їх потенційного технологічного

застосування [10]. Слабка ван-дер-ваальсівська взаємодія між шарами дозволяє легко отримувати *in situ* міжшарові ПС (100) In_4Se_3 (рис. 1 *a, б*) з майже відсутніми на них, в ідеальному випадку, “розірваними” і ненасиченими електронними зв’язками [11].

Зокрема, згідно з результатами, отриманими нами в [7–9] методами атомно-силової та скануючої тунельної мікроскопії (АСМ та СТМ), ПС (100) In_4Se_3 , одержані у надвисокому вакуумі (НВВ) при $P = 1.5 \times 10^{-10}$ Тор, були структурно стабільними, маючи борознисту, ланцюжково-подібну структуру (рис. 1, 2) і можуть бути використані як анізотропні, слабкопровідні матриці/шаблони для створення поверхневих провідних індієвих або золотих нанодротів чи інших наноструктур.

Дослідження ПС, одержаних у НВВ для ШК MoS_2 , WSe_2 , SnS_2 [12], GaSe [13] методами ДПЕ, СТМ та ультрафіолетової фотоелектронної спектроскопії [10], свідчать про відсутність на ПС ШК гексагональної сингонії ненасичених електронних зв’язків. Причому, електронні спектри ПС слабко відрізняються від об’ємних [10, 14] і “малюнок” площини поверхні, тобто її кристалографія, повторює “малюнок” цієї площини в об’ємі ШК, на відміну від ПС інших напівпровідників, наприклад, кристалічного Si [15]. В [16] підтверджено відсутність ненасичених електронних зв’язків на ПС (0001) ШК GaSe . Про інертність ПС (0001) MoS_2 свідчать результати роботи [17]. У той же час для халькогенідних ШК GaTe автори [18] методом ДПЕ спостерігали часткову реконструкцію ПС, одержаних у НВВ, з моноклінної у гексагональну.

Подібні дослідження ПС (100) In_4Se_3 є важливими при їх застосуванні як шаблонів

для одержання наноструктур і для ПС (100) In_4Se_3 , одержані нами вперше та частково апробовані на міжнародному семінарі [19].

ОБ’ЄКТИ ДОСЛІДЖЕНЬ ТА ЇХ СТРУКТУРНІ ОСОБЛИВОСТІ

Об’єктами досліджень були моно-кристалічні зразки ШК In_4Se_3 , вирощених методом Чохральського у відновлювальній водневій атмосфері з розплав-розчину синтезованого сплаву $\text{In}_4\text{Se}_3 + 10$ ат. % In, що містить надстехіометричний (≤ 10 ат. %) In, який виступає як розчинник.

Структурними дослідженнями з використанням порошкового дифрактометра X -променів “Stoe STADI I” (Germany) з $\text{CuK}_{\alpha 1}$ – випромінюванням довжиною хвилі $\lambda = 1.540598$ Å було встановлено [8, 9], що орторомбічні фазі відповідає структурна формула In_4Se_3 , тобто напівпровідниковий ШК In_4Se_3 кристалізується у ромбічній сингонії і має орторомбічну примітивну (центрросиметричну) гратку. Кристали In_4Se_3 мають виражену шаруватість, а шари – складну будову (рис. 1 *a* та рис. 2 *a, б*). Кристали In_4Se_3 мають достатньо сильну анізотропію фізичних властивостей, які повинні безпосередньо транслюватися на анізотропію та особливості фізико-хімічних властивостей ПС (100) [9, 10, 20, 21].

Обробка результатів дифрактометрії була проведена з використанням програмного забезпечення і баз даних “STOE Powder Diffraction Software (WinXPOW)”. Фрагменти розрахованих кристалографічних параметрів наведені у табл. 1 та 2.

Таблиця 1. Координати атомів (x, y, z) в еквівалентних позиціях

Номер атома	Координати атомів			Номер атома	Координати атомів		
1	x	y	z	2	-x	-y	z
3	1/2+x	1/2-y	1/2-z	4	1/2-x	1/2+y	1/2-z
5	-x	-y	-z	6	x	y	1/2-z
7	1/2-x	1/2+y	1/2+z	8	1/2+x	1/2-y	1/2+z

Таблиця 2. Відносні координати атомів ґратки та деякі кристалографічні параметри

Атом	Відносні координати атомів			Заповнення	Кількість еквівалент. позицій	Фактор Дебая-Уоллера, U
	x/a	y/b	z/c			
In1	0.71110	0.33930	0.00000	0.3333	4	0.6500
In2	0.81570	0.52360	0.00000	0.3333	4	0.0650
In3	0.96750	0.64420	0.00000	1.0000	4	0.6500
In4	0.42380	0.39740	0.00000	1.0000	4	0.0650
Se1	0.90329	0.84943	0.00000	1.0000	4	0.0200
Se2	0.76875	0.13857	0.00000	1.0000	4	0.0200
Se3	0.42410	0.15595	0.00000	1.0000	4	0.0200

a, b, c – сталі ґратки

Як видно з рис. 1, ШК In_4Se_3 має 28 атомів у елементарній комірці, згрупованих у два атомні моношари з сімома кристалографічно нееквівалентними вузлами (4 – In, 3 – Se), кожен з яких займає 4 еквівалентні позиції (рис. 1 a, 2 a) і перебуває у наступних електронних конфігураціях – $^{49}In[Kr^{36}4d^{10}]5s^25p^1$; $^{34}Se[Ar^{18}3d^{10}]4s^24p^4$ з можливими *sp*-гібридизаціями.

У [22] запропоновано, що кристалічну структуру In_4Se_3 можна описати у представленні зв'язків із змінною валентністю ($[In^+][In_3]^{5+}[Se^{2-}]_3$). Це означає, що поряд з іонами In^+ існують полікатіони типу $(In_3)^{5+}$ (рис. 1 a та рис. 2 б). Той факт, що віддалі Se–Se більші 4.03 Å, свідчить, що усім атомам Se^- можна приписати формальний заряд “–2”. Кластероподібну $(In_3)^{5+}$ структурну групу треба описувати іонами з різними формальними зарядами. На відміну від зовнішніх атомів (In1, In3), формальний заряд яких є “+2”, центральний атом In2 у цій групі описується формальним зарядом “+1”, що відображає характерне халькогенідне оточення (рис. 1 б).

Зовнішні атоми (In1, In3) ковалентно зв'язані з середнім атомом In2. Відстані між атомами In1 і In3 та відповідними трьома атомами Se лежать у межах від 2.623 до 2.712 Å. Ці відстані відповідають In–Se відстаням для гантелеподібної $(In_2)^{4+}$ групи з двозарядними іонами. Також порівнюваними є відстані ковалентних зв'язків у $(In_2)^{4+}$ -гантелі і відстані зв'язків In1–In2 та In2–In3 у групі $(In_3)^{5+}$. Центральний атом In2 зв'язаний ковалентно з двома сусідніми атомами селену на віддалі 2.803 Å. Крім того, близькими є атоми Se, що належать іншому кластеру і знаходяться на відстані 3.439 Å. Таким чином, утворюється октаедричне оточення з двома атомами In і чотирма Se.

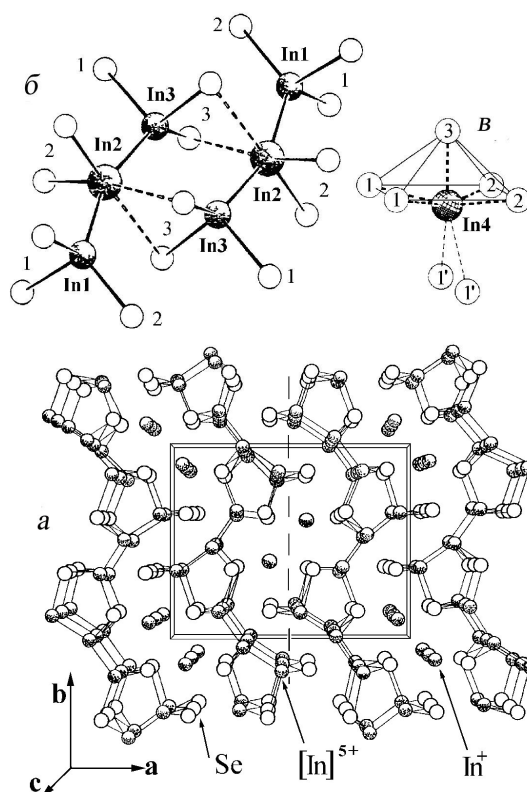


Рис. 1. Просторове зображення кристалічної структури та позиції атомів у елементарній комірці ШК In_4Se_3 .

a – 3D-подібна кристалічна структура (проекція на площину (001)). Штрихова лінія позначає міжшарову площину сколювання (100), на якій між шарами-пакетами слабка ван-дер-ваальська взаємодія. Сталі ґратки: $a = 15.296(1)$; $b = 12.308(1)$; $c = 4.0806(5)$ Å; просторова група P_{nnm} (D_{2h}^{12});

b – $[In_3]^{5+}$ – полікатіон індію в шарі-пакеті (In1, In2, In3);

c – In^+ – катіон індію у міжшаровій щілині та його оточення і взаємодії.

Суцільні лінії – сильний ковалентний зв'язок; штрихові лінії – слабкі взаємодії

Кластери $(In_3)^{5+}$ з відповідними атомами селену зв'язані між собою таким чином, що утворюють п'ятикутні кільця $In_2-In_3-Se_1-In_1-Se_2$ вздовж напрямку $<001>$. Ці кільця утворюють вздовж напрямку $<010>$ шари $[In_3Se_3]$. За такої будови між $[In_3Se_3]$ -шарами утворюються канали, в яких розташовані нескінчені одновимірні ланцюги іонів In^+ (In_4) вздовж напрямку $<001>$, що знаходяться на відстані c один від одного. Фактор Дебая-Уоллера U для In_4 (табл. 2) має менше значення, ніж для In_1 , In_3 , і є таким як і для In_2 , оскільки їх зарядові стани однакові (In^+). На відміну від зовнішніх In_1 , In_3 , формальний заряд яких є +2, центральний In_2 у групі $In_1-In_2-In_3$ (рис. 1 б) описується формальним зарядом +1.

Зауважимо, що ШК In_4Se_3 не є у канонічному розумінні шаруватим, тобто таким, що складається з плоских шарів, зв'язаних ван-дер-ваальською взаємодією, як, наприклад, ШК гексагональної сингонії $InSe$ та $GaSe$, а складається з неплоских гофрованих шарів-пакетів із послабленим міжшаровим

зв'язком. Тому їх ПС (100) In_4Se_3 також мають гофровану структуру (рис. 2 б, в).

Взаємодіючі атоми індію (In_1 , In_2 , In_3) та селену (Se) у ковалентно-іонних зв'язках (рис. 2 а, б), які належать одному структурному шару-пакету, є з'єднаними між собою, окрім In^+ , та позначені символами хімічних елементів (рис. 2 а). Оси ХУЗ, які дають розуміння кута розгляду елементарної комірки, наведені у верхній частині рис. 2 (рис. 2 а). Відзначимо, що анізотропія зв'язків у шарі ШК позначається на анізотропії їх електронних спектрів [20, 21].

Таке представлення комірки ШК рис. 2 а дозволяє краще роздивитись і переконатись у їх шарувато-ланцюжковій гофрованій структурі міжшарових ПС (100) In_4Se_3 , одержаний методом СТМ [20] на апараті “Omicron NanoTechnology STM/AFM System” (Germany) в умовах НВВ 2×10^{-11} Тор та при 80 К (рис. 2 в). На таких поверхнях слабко зв'язаних шарів-пакетів появляється динамічне розупорядкування у напрямку слабкого міжшарового зв'язку [23].

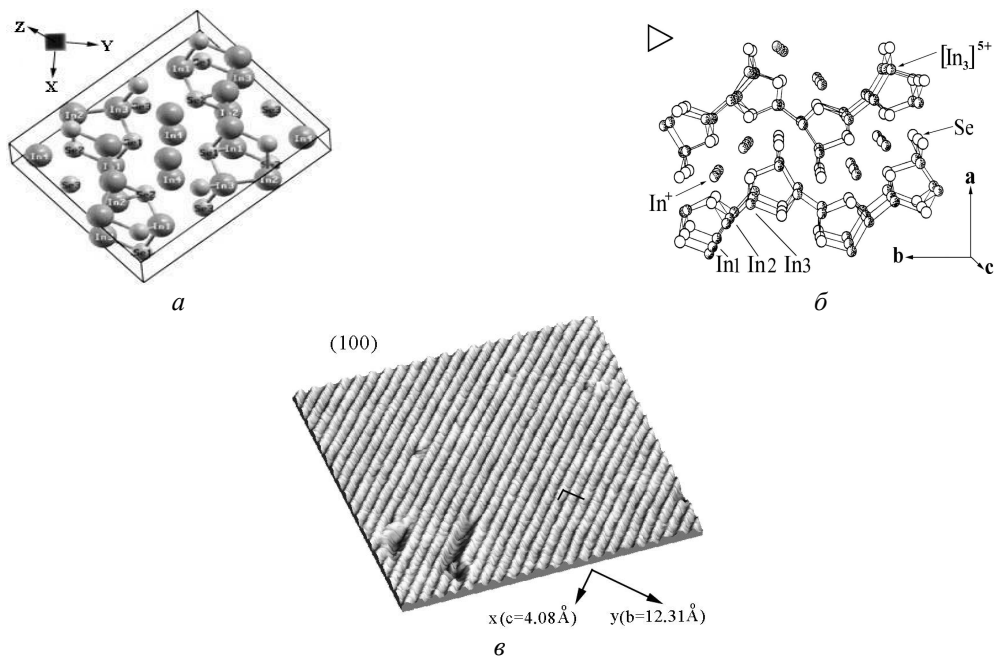


Рис. 2. Структурні особливості ШК In_4Se_3 : а – елементарна комірка In_4Se_3 як структурна одиниця шару-пакету, де напрямки осей ХУЗ збігаються з напрямком векторів сталих гратки c , b , a ; осі X та Y лежать у площині ПС (100); б – фрагмент міжшарових ПС (100) In_4Se_3 відповідно до структури кристала (проекція на площину (001)), з якого видно які атоми “виходять” на поверхню. Трикутник у верхній лівій частині рисунка вказує напрям сколювання. $[In_3]^{5+}$ – полікатіон індію, утворений ковалентно зв'язаними – In_1 , In_2 , In_3 в шарі-пакеті; In^+ – катіон індію у міжшаровій щілині; в – фрагмент 3D-зображення СТМ-картички ($36 \times 36 \text{ nm}^2$) площини поверхні НВВ сколу (100) In_4Se_3 та ланцюжки вздовж напрямку x (c). СТМ-зображення одержане при 80 К, напрузі зміщення $V_b=2$ В та струмі тунелювання $I_f=150$ pA

Оскільки гратка In_4Se_3 є орторомбічною, то обернена гратка також є орторомбічною, а вектори прямої та оберненої граток є зворотно співнапрямленими [24]. У табл. 3 наведена інформація, що стосується прямої та оберненої граток кристалу In_4Se_3 для порівняння, та відповідно ПС (100), яка є важливою для розуміння результатів з ДПЕ ПС (100) In_4Se_3 .

Таблиця 3. Постійні тривимірної прямої та оберненої* граток ШК In_4Se_3

$a=15.296(1)$ Å	$b=12.308(1)$ Å	$c=4.0810(5)$ Å
$a^*=0.410(8)$ Å ⁻¹	$b^*=0.510(4)$ Å ⁻¹	$c^*=1.5397(4)$ Å ⁻¹

Нагадаємо, що дифракційно-інтерференційні картини повільних електронів, які будуть розглянуті нижче, отримуються у просторі оберненої гратки (хвильових векторів).

Дифракція повільних електронів (ДПЕ) атомно-чистих ПС (100) In_4Se_3 на відбиwanня. Експерименти з ДПЕ з енергіями електронів 25–72 еВ проводились на установці BDL-800IR, виробництва OCI Vacuum Micro-engineering (<http://www.ocivm.com>), у вакуумі 1.5×10^{-10} Тор в температурному діапазоні 77–295 К, вакуумний модуль якої зібраний на несучому фланці, що приєднується до НВВ камери, схематично зображеній на рис. 3. Для дослідження кристалографії атомно-чистих (АЧ) ПС (100) In_4Se_3 методом ДПЕ зразки спеціальної форми розміром $3 \times 6 \times 4$ мм³ сколювалися *in situ* ножем ультрамікротома з нержавіючої сталі при 77 та 295 К.

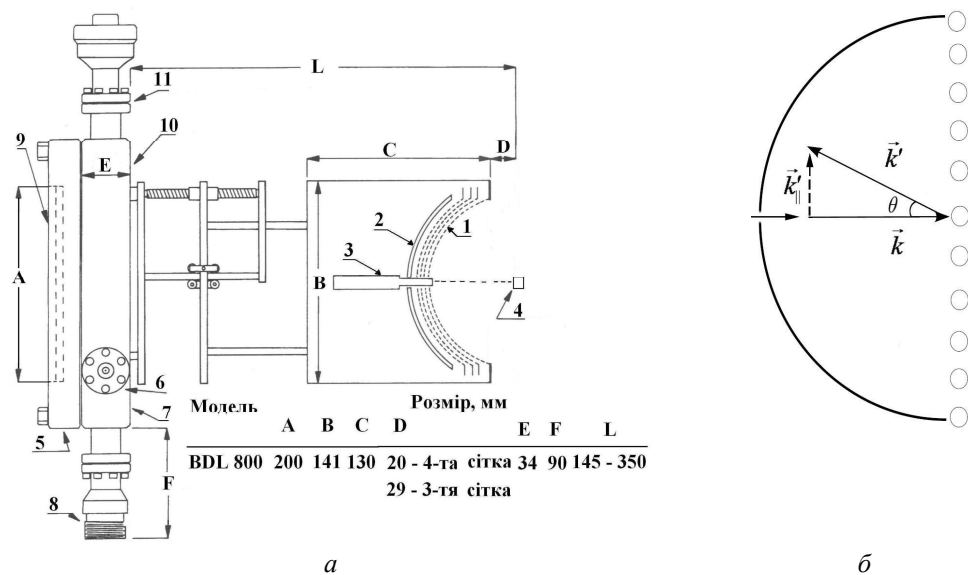


Рис. 3. Схематичне представлення експериментального модуля (а) та фізичних принципів (б) з ДПЕ. а – Спрощена схема основних вузлів та деталей НВВ модуля для дослідження ДПЕ: 1 – сітки для сепарації електронів за їх енергіями, 2 – люмінесцентний екран, 3 – електронна гармата, 4 – зразок, 5 – фланець з вікном (9) для спостереження ДПЕ-картин поверхні зразків, 6 – два вакуумні вводи симетрично орієнтовані відносно вертикалної осі під кутом 54°, 7 – фланець для кріплення вакуумного ДПЕ-модуля до вакуумної камери, 8 – ввід живлення електронної гармати, 9 – вікно, 10 – сторона надвисоковакуумної камери, 11 – вакуумний ввід регулятора геометрії ДПЕ-експериментів. б - Зображення пружного когерентного розсіювання повільних електронів, бомбардуючого поверхню пучка, регулярними рядами атомів поверхні. Напівсфера зображає люмінесцентний екран для відображення дифракційно-інтерференційних рефлексів

Дослідження ДПЕ починалися через ~10–15 хв після сколювання ШК In_4Se_3 у НВВ ($P = 1.5 \times 10^{-10}$ Тор). Використана у ДПЕ-модулі (рис. 3) електронна гармата з катодом у формі нитки з монокристалічного LaB_6 забезпечувала, при енергіях бомбардуючих електронів 25–72 еВ, струми електронного променя 1–2 нА діаметром від 0.25 до 1 мм у площині

ПС (100) In_4Se_3 , достатні для яскравих дифракційних рефлексів. Для візуалізації ДПЕ-картин використовувався люмінесцентний екран (рис. 3) та їх запис цифровою відеокамерою. Обробка інтенсивностей дифракційних рефлексів та вимірювання відстаней між ними проводилась з використанням графічних пакетів Gwyddion

(<http://gwyddion.net>) та Adobe Photoshop (<http://www.adobe.com>).

Орторомбічність структури напівпровідників ШК In_4Se_3 та локальну досконалість їх (100) ПС, одержаних *in situ*, демонструють ДПЕ-картинки, наведені на рис. 4, які за структурою розміщення дифракційних рефлексів відповідають поверхням орторомбічних структур [3, 4]. ДПЕ-картинки для атомно-чистих (АЧ) ПС (100) In_4Se_3 , отримані при енергії електронів 54 еВ (рис. 4 ліворуч та праворуч), свідчать про досконалість структури ПС (100) In_4Se_3 у мінімальних областях когерентності дифрагуючого електронного променя $\sim 0.1\text{--}1 \text{ мкм}$.

Експозиція ПС в атмосфері залишкових газів НВВ камери (10^{-10} Тор , $t_{\text{експ.}} > 10\text{--}12 \text{ год}$) і, як наслідок, формування інтерфейсного покриття адсорбованих газів на поверхні [11]

приводить до зменшення інтенсивності дифракційних рефлексів та розмиття картини ДПЕ, але без зміни її симетрії (рис. 4 праворуч), і свідчить, відповідно, про відсутність атомної реконструкції у монощарі-пакеті ПС (100) In_4Se_3 (див. монощар-пакет In_4Se_3 на рис. 1 *a* та рис. 2 *a*).

ДПЕ ПС (100) In_4Se_3 , одержаних у НВВ при різних температурах у діапазоні 77–295 К, показали, що підвищення температури зразка приводить до розмиття картини ДПЕ, зменшення інтенсивностей дифракційних рефлексів та зростання фону, але без зміни симетрії ДПЕ-картинки (рис. 4). Останнє свідчить про температурну стабільність атомно-чистих ПС (100) In_4Se_3 з відсутністю атомної реконструкції у монощарі-пакеті ПС (100) In_4Se_3 .

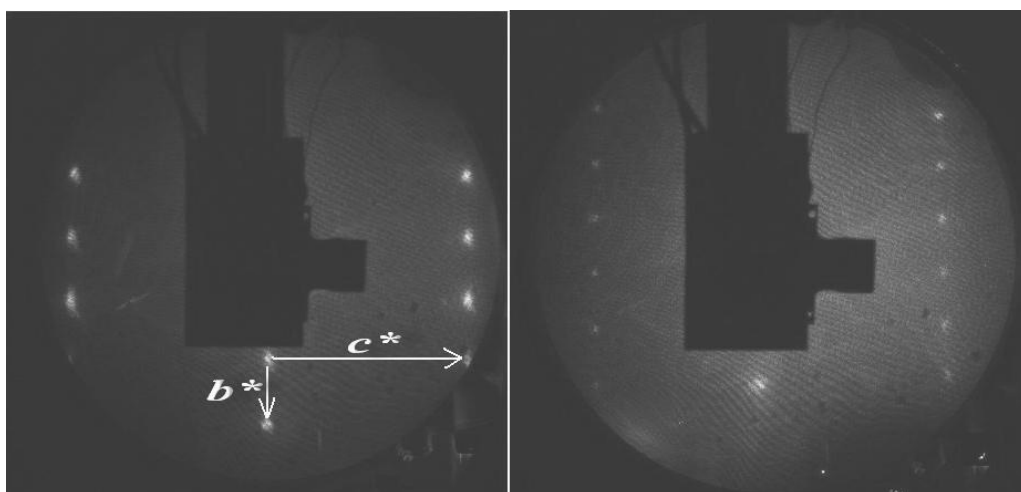


Рис. 4. Картинки ДПЕ (54 еВ, $\lambda = 1.6689 \text{ \AA}$) ПС (100) In_4Se_3 : ліворуч – відразу після сколювання *in situ* при температурі 77 К; праворуч – після експозиції ПС (100) у НВВ $1.5 \times 10^{-10} \text{ Тор}$ протягом 12 год. b^* , c^* – сталі оберненої прямокутної гратки; $b^* = 0.5104(8) \text{ \AA}^{-1}$; $c^* = 1.5397(4) \text{ \AA}^{-1}$

Нанесені на рис. 4 ліворуч вектори – співмірні векторам $c^* = 1.5397(4) \text{ \AA}^{-1}$ та $b^* = 0.510(4) \text{ \AA}^{-1}$ оберненої двовимірної гратки ПС (100) In_4Se_3 , причому відстані між рефлексами за напрямками вздовж векторів c^* та b^* оберненої гратки змінюються зі зміною температури зразка без порушення симетрії оберненої гратки – вона залишається прямокутною (має місце температурне розширення). Крім того, спостерігається анізотропія лінійного розширення по напрямках векторів сталих гратки b та c реальної двовимірної гратки ПС (100) In_4Se_3 .

Оцінка сталих двовимірної гратки, що знаходяться у площині поверхонь сколювання (100) шаруватих орторомбічних кристалів In_4Se_3 за дифракційними картинами. Згідно гіпотези де Броїля електрону, що рухається із швидкістю v та має імпульс p можна поставити у відповідність плоску дебройлівську хвилю з довжиною λ ,

$$\lambda = h / mv = h / p = h / \sqrt{2mE}, \quad (1)$$

де E – енергія електрона, h – стала Планка, m – маса електрона.

Загалом, у експериментах з ДПЕ типовими значеннями енергії електронів, які використовуються для дослідження кристалографії поверхні, є 2–200 еВ і довжини хвиль де Бройля (1) є співмірними зі стороною гратки поверхні, і тому пучок електронів когерентно дифрагує на періодичних рядах поверхневих атомів. Однак, лише пружно розсіяні на періодичних рядах атомів поверхні електрони беруть участь у формуванні дифракційно-інтерференційної картини і тому затримуючий потенціал, прикладений для сепарації електронів за їх енергіями до сіток модуля для проведення ДПЕ-експериментів (рис. 3 *a*), підбирають таким чином, щоб на люмінесцентний екран потрапляли лише ті електрони, що зазнали пружного розсіяння.

Рух падаючого на поверхню, по нормальні до неї, електрона (рис. 3 *a, б*), можна описати, використовуючи хвильовий вектор \vec{k}

$$\vec{k} = \frac{2\pi n}{\lambda} \vec{s}, \quad (2)$$

де n – ціле число (порядок інтерференційного максимуму, або ж дифракційного рефлексу), \vec{s} – одиничний вектор паралельний до напрямку падаючого електрона, λ – довжина хвилі де Бройля.

Розсіяння електронів на атомах поверхні, при розгляді ДПЕ, є пружним, енергії електронів падаючих E та зворотно розсіяних E' однакові $E = E'$ і хвильовий вектор пружно розсіяних під кутом θ електронів \vec{k}' дорівнює за модулем вектору падаючих на поверхню $|\vec{k}| = |\vec{k}'|$.

Хвильовий вектор падаючого на поверхню електрона не має паралельної до площини поверхні кристала складової, бо направленій перпендикулярно до неї (рис. 3 *a, б*). Однак, хвильовий вектор пружно відбитого електрона має паралельну \vec{k}_{\parallel}' та перпендикулярну \vec{k}_{\perp}' до площини поверхні складові (див. рис. 3 *б*). Паралельна складова \vec{k}_{\parallel}' є вектором оберненої гратки, який описує дозволені, умовно кажучи, “вузли – рефлекси дифракції” двовимірної оберненої гратки ПС (100) кристала In_4Se_3 , і її значення мають бути рівними:

$$|\vec{k}_{\parallel}'| = \frac{2\pi}{a} n, \quad (3)$$

де n – порядок (індекс) дифракційного рефлексу, a – стала гратки кристала (рівна b або c на поверхні сколювання (ПС) (100) In_4Se_3). Згідно рис. 3 *б*, співвідношення між векторами може бути представлене наступним виразом [25]:

$$\sin \theta = \frac{|\vec{k}_{\parallel}'|}{|\vec{k}|} = \frac{2\pi}{a|\vec{k}|} n. \quad (4)$$

Енергію електрона $E' = E$ можна визначити, використовуючи хвильовий вектор (число) пружно відбитого електрона і навпаки, оскільки:

$$E = \frac{(\hbar \vec{k}')^2}{2m_e}, \quad (5)$$

де m_e – маса електрона, \vec{k}' – хвильове число пружно відбитого електрона. Виконавши перестановки та заміни, вираз (5) можна переписати

$$|\vec{k}'| = \sqrt{\frac{2m_e E}{\hbar^2}} \approx 0.5123\sqrt{E}, \quad (6)$$

де E – енергія електрона у еВ, а $|\vec{k}'|$ – хвильове число в \AA^{-1} . Підставляючи (6) у (4), отримаємо:

$$\sin \theta = n \frac{2\pi}{a(0.5123\sqrt{E})}. \quad (7)$$

При збільшенні енергії падаючих електронів, відповідно до рівняння (7) кут між хвильовими векторами падаючого та відбитого електронів зменшується. Тобто на ДПЕ-картинах, одержаних в діапазоні енергій 25–75 еВ, при збільшенні енергії падаючих електронів спостерігається стискання ДПЕ-картинки (рух рефлексів до центру симетричної ДПЕ-картинки без зміни її симетрії) із збільшенням числа видимих дифракційних рефлексів – появу у полі зору люмінесцентного екрану дифракційних рефлексів вищих порядків (див. рис. 5).

Для визначення відстані від люмінесцентного екрану до зразка використали результати ДПЕ поверхні сколювання (ПС) (100) MgO з кубічною граткою ($a=4.212 \text{ \AA}$) за відомих умов проведення експерименту та

геометричних розмірах ДПЕ-модуля BDL-800 (рис. 3 а).

Скориставшись формулою (7), можна одержати вираз (8) для знаходження сталих двовимірної гратки $a=b$ та $a=c$, що лежать у площині ПС (100) In_4Se_3 . Тоді

$$a = \frac{2\pi}{\sin \theta (0,5123\sqrt{E})} n, \quad (8)$$

де n – порядок (індекс) дифракційного рефлексу, відповідно до картин ДПЕ (рис. 5).

Були розглянуті та проаналізовані ті ДПЕ-картини, що одержані при таких енергіях електронів, при яких дифракційні рефлекси різних порядків “з’являлися” на краю люмінесцентного екрана, що спрощує визначення кута θ , як граничного і рівного

100° . Двовимірна гратка ПС (100) In_4Se_3 є прямокутною, відповідно до кристалографії In_4Se_3 [6, 22] та одержаних нами результатів X -променевої дифрактометрії та ДПЕ, і вона має дві сталі: у паралельному та перпендикулярному напрямках відносно поверхневих індієвих “ланцюжків” (рис. 2 в).

У результаті розрахунків сталих поверхневих граток в моделі, яка запропонована в [25], для ПС (100) In_4Se_3 вперше методом ДПЕ одержані значення сталих b та c двовимірної гратки у площині ПС (100): $b=11.475 \text{ \AA}$, $c=3.734 \text{ \AA}$, які є співмірними із результатами отриманими методом X -дифрактометрії ($b=12.308(1) \text{ \AA}$ та $c=4.0810(5) \text{ \AA}$), що підтверджує адекватність використання моделі для розрахунків (рис. 5).

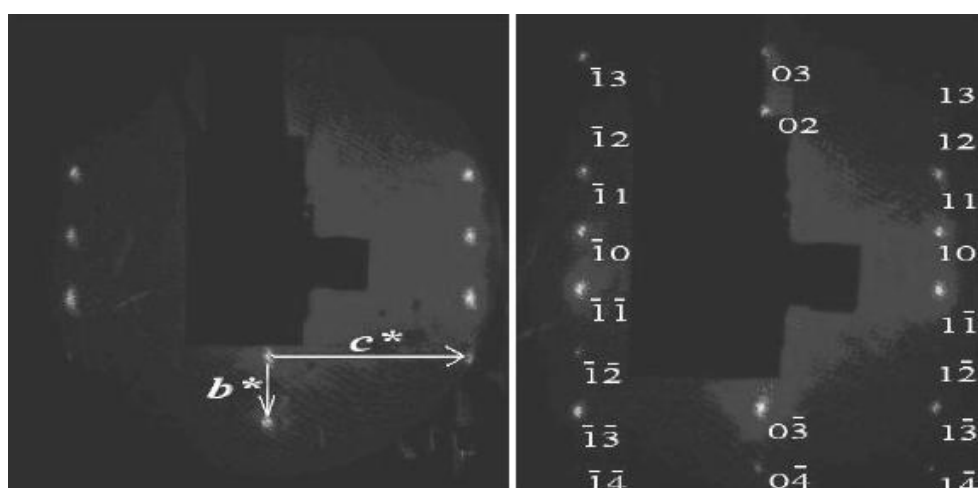


Рис. 5. Картинки ДПЕ ПС (100) In_4Se_3 : ліворуч ($E=33 \text{ eV}, \lambda=2.1349 \text{ \AA}$) де b^* та c^* – сталі оберненої гратки (при 77 K), які рівні $b^*=2\pi/b$ та $c^*=2\pi/c$ відповідно, де b та c – сталі реальних граток ПС (100). Праворуч ($E=61 \text{ eV}, \lambda=1.5702 \text{ \AA}$) – біля кожного дифракційного рефлексу наведені його індекси (порядок рефлексу n) (170 K)

Дещо менші значення сталих гратки, що одержані методом ДПЕ ($b=11.475 \text{ \AA}$, $c=3.734 \text{ \AA}$), порівняно з результатами, отриманими X -дифрактометрією ($b=12.308(1) \text{ \AA}$ та $c=4.0810(5) \text{ \AA}$), обумовлені похибками “просторової аберрації” ДПЕ-модуля, де зображення ДПЕ-рефлексів формувалося на півсферичному люмінесцентному екрані (2), а реєструвалося відеокамерою в площині вікна (9) (див. рис. 3). Це “зменшує” реальні більші відстані між спостережуваними дифракційними рефлексами “по дузі” півсферичного люмінесцентного екрана, трансформуючи їх у

“довжину відрізка прямої” у площині вікна (рис. 4 та 5 (ліворуч)).

ВИСНОВКИ

Проведені структурні дослідження ШК In_4Se_3 методом дифракції X -променів та їх ПС (100) методом дифракції повільних електронів – ДПЕ:

Методами X -променевого структурного та фазового аналізу досліджено структурні особливості напівпровідників ШК In_4Se_3 – визначені симетрія кристалічної гратки та її сталі. Структурні дослідження проведено з використанням порошкового дифрактометра

X -променів “Stoe STADI I” (Germany) з CuK_{α} – випромінюванням довжиною хвилі $\lambda=1.540598 \text{ \AA}$ та встановлено, що орторомбічній фазі відповідає структурна формула In_4Se_3 , тобто, напівпровідниковий ШК In_4Se_3 кристалізується у ромбічній сингонії і має орторомбічну примітивну (центрросиметричну) гратку зі сталими: $a=15.296(1)$, $b=12.308(1)$, $c=4.0806(5) \text{ \AA}$, просторова група P_{nmm} (D_{2h}^{12}).

Методами ДПЕ встановлено, що симетрія оберненої гратки і відношення сталих c^*/b^* двовимірних обернених граток (відповідно векторів b/c прямих граток) ПС (100) In_4Se_3 не залежить від часу експозиції при 295 К після сколювання у НВВ, і вказує на те, що після сколювання поверхнева двовимірна гратка не перебудовується і ПС (100) In_4Se_3 є структурно стабільними в області кімнатних температур.

Зменшення інтенсивності дифракційних рефлексів ПС (100) In_4Se_3 з часом при тривалій експозиції ($t_{\text{експ.}} > 10-12$ год) після сколювання *in situ* у НВВ і деяке їх розмиття, обумовлене формуванням інтерфейсів за участю адсорбованих компонентів атмосфери залишкових газів НВВ камери.

Картинки ДПЕ атомно-чистих ПС (100) In_4Se_3 , одержаних у НВВ при різних температурах, показали, що підвищення температури зразка приводить до розмиття картини ДПЕ, зменшення інтенсивностей дифракційних рефлексів та зростання фону “засвітки”, але без зміни симетрії ДПЕ-картинки, що свідчить про температурну стабільність атомно-чистих ПС (100) In_4Se_3 з

відсутністю атомної реконструкції у моношарі-пакеті ПС (100) In_4Se_3 .

Проведена оцінка сталих двовимірних граток ПС (100) In_4Se_3 за дифракційними картинами, отриманими методом ДПЕ. Підтверджена адекватність выбраної моделі для оцінки сталих двовимірних граток ПС за результатами ДПЕ. Вказано можлива причина незначної відмінності отриманих значень методом ДПЕ та результатів, отриманих методами X -дифрактометрії.

Наноструктуровані гофровані поверхні сколювання (100) In_4Se_3 є структурно стабільними щодо симетрії поверхневої гратки, вони також не зазнають температурної атомної реконструкції і сталі поверхневої гратки залишаються слабко змінними у широкому температурному діапазоні 77–295 К у межах температурного видовження і тому анізотропні, слабко провідні напівпровідникові ПС (100) In_4Se_3 можуть бути використані як матриця/шаблон/підкладинка для створення поверхневих провідних (In/Au) нанодротів, наношнурів чи інших наноструктур.

Наведені результати отримані у рамках спільних проектів з Луїзіанським університетом США: Проект LU-PG 1206 (2009-13 р.) “Anisotropic electron energetic structure and anisotropic electron properties of the A^3B^6 and $A^3B^6C^3$ layered semiconductor crystals” та наукової співпраці з Інститутом експериментальної фізики Вроцлавського університету (Польща).

Особенности кристаллографии поверхностей скальвания (100) слоистых полупроводниковых кристаллов In_4Se_3

П.В. Галий

Львовский национальный университет имени Ивана Франко, факультет электроники
ул. Драгоманова, 50, Львов, 79005, Украина, galijy@electronics.lnu.edu.ua

Представлены результаты структурных исследований слоисто-цепочечных полупроводниковых кристаллов In_4Se_3 методом рентгеновской дифрактометрии и их поверхностей скальвания (100) методом дифракции медленных электронов. Показано, что поверхности скальвания (100) In_4Se_3 являются структурно стабильными и не претерпевают атомной реконструкции в широком температурном диапазоне 77–295 К. Проведена оценка постоянных двухмерной решетки, находящейся в плоскости поверхности (100) слоистых орторомбических кристаллов In_4Se_3 , по дифракционным картинам. Рассчитаны постоянные поверхностных решеток $b = 11.475 \text{ \AA}$ и

c = 3.734 Å, которые совпадают, в пределах ошибок, с их значениями, полученными методом рентгеновской дифрактометрии (b = 12.308(1) Å и c = 4.0810(5) Å), что указывает на адекватность использованной модели для расчета постоянных решетки поверхностей скальвания (100) In₄Se₃ по результатам ДМЭ. Тем самым показано, что поверхности скальвания (100) In₄Se₃ структурно стабильны относительно симметрии поверхностной решетки и не претерпевают температурной атомной реконструкции, а постоянные поверхности решетки остаются слабоизменяемыми в температурном диапазоне 77–295 K в пределах температурного удлинения.

Ключевые слова: слоисто-цепочные полупроводниковые кристаллы, поверхности скальвания (100) In₄Se₃, структурные исследования

The peculiarities of (100) cleavage surface crystallography of In₄Se₃ layered semiconductor crystals

P.V. Galiy

Ivan Franko Lviv National University, Electronics Department
50 Dragomanov Str., Lviv, 79005, Ukraine, galiy@electronics.lnu.edu.ua

The paper presents the results of structural investigations of In₄Se₃ layered chainlike semiconductor crystals by X-ray diffraction and their (100) cleavage surfaces studies by low energy electron diffraction (LEED). It has been shown that the (100) In₄Se₃ cleavage surface is structurally stable and does not undergo atomic reconstruction in a wide temperature range of 77–295 K. The constants of two-dimensional lattice on (100) cleavage plane surfaces of orthorhombic layered In₄Se₃ crystals were evaluated with application of diffraction patterns. Calculated surface lattice constants b = 11.475 Å and c = 3.734 Å agree, within the error limits, with their values obtained by X-diffraction (b = 12.308(1) Å and c = 4.0810(5) Å), indicating the adequacy of the model used to calculate the lattice constants of cleavage (100) surfaces of In₄Se₃ from the LEED results. Thereby, it is shown that (100) In₄Se₃ surfaces are structurally stable with respect to the surface lattice symmetry they and do not undergo thermal atomic reconstruction, and surface lattice constants are slightly variable in a wide temperature range of 77–295 K within the temperature elongation limits.

Keywords: layered chainlike semiconductor crystals, (100) In₄Se₃ cleavage surface, structural studies

ЛІТЕРАТУРА

1. Galiy P.V., Nenchuk T.M., Ciszewski A. et al. Indium induced nanostructures on In₄Se₃(100) surface studied by scanning tunnelling microscopy // Functional Materials. – 2013. – V. 20, N 1. – P. 37–43.
2. Галій П.В., Ненчук Т.М., Ціжевський А. та ін. Наноструктурні дослідження поверхонь (100) кристалів In₄Se₃, інтеркальованих сріблом // Металлофізика і новіші технології. – 2013. – Т. 35, № 8. – С. 1031–1043.
3. Оура К., Ліфшиц В.Г., Саранин А.А. и др. Введение в физику поверхности. – Москва: Наука, 2005. – 499 с.
4. Вудраф Д., Делчар Т. Современные методы исследования поверхности. – Москва: Мир, 1989. – 568 с.
5. Wedler H., Heinz K. Information on surface structure by low energy electron diffraction // Vakuum in Forschung und Praxis. – 1995. – N 5. – P. 107–114.
6. Schwarz U., Hillebrecht H., Deiseroth H. et al. In₄Te₃ und In₄Se₃: Neubestimmung der Kristallstrukturen, druckabhangiges Verhalten und eine Bemerkung zur Nichtexistenz von In₄S₃ // Zeitschrift fur Kristallographie. – 1995. – V. 210, N 5. – P. 342–347.
7. Galiy P.V., Musyanovich A.V., Fiyala Ya.M. The interface microscopy and spectroscopy on the cleavage surfaces of the In₄Se₃ pure and copper intercalated layered crystals // Physica E: Low-dimensional Systems and Nanostructures. – 2006. – V. 35, N 2. – P. 88–92.

8. Galiy P.V., Nenchuk T.M., Losovyj Ya.B. et al. Structural and energy changes at the cleavage surfaces of In_4Se_3 layered crystals under interface formation // Functional Materials. – 2008. – V. 15, N 1. – P. 68–73.
9. Galiy P.V., Nenchuk T.M., Dveriy O.R. et al. Atomic force microscopy study of the cleavage surfaces of In_4Se_3 layered semiconductor crystal // Physica E: Low-dimensional Systems and Nanostructures. – 2009. – V. 41, N 3. – P. 465–469.
10. Jaegermann W., Klein A., Pettenkofer C. Scanning Tunneling Spectroscopy of Layered Cuprates and Transition Metal Chalcogenides // Electron Spectroscopy Applied to Low-Dimensional Materials (Physics and Chemistry of Materials with Low-Dimen. Structures): [Ed. by H. Hughes, H. Starnberg]. – Dordrecht/Boston/London: Kluwer Academic Publisher. – 2000. – V. 24. – P. 317–402.
11. Галий П.В., Ненчук Т.М., Мельник О.Я. та ін. Кількісна Оже-електронна спектроскопія формування інтерфейсних шарів вуглецю на поверхнях вакуумних сколів кристалів шаруватих напівпровідників In_4Se_3 // Укр. фіз. журн. – 2003. – Т. 48, № 3. – С. 256–268.
12. Henson T.D., Sarid D., Bell L.S. STM of layered-structure semiconductors // J. Microsc. – 1988. – V. 152, N 2. – P. 467–472.
13. Nicholls J.M., Debever J.M. Conduction band structure of the III–VI Layer Compound GaSe Studied with Inverse photoemission // Surface Science. – 1987. – V. 189/190. – P. 919–926.
14. Brandt J.J. Geometric and electronic structure of misfit layered compounds and epitaxial thin films of PbS on transition metal dichalcogenides: Dissert. zur Erlangung des Dokt. der Mathem.-Nat. – Kiel, 2003. – 103 p.
15. Нестеренко Б.А., Ляпин В.Г. Фазовые переходы на свободных гранях и межфазовых границах в полупроводниках. – Київ: Наукова думка, 1990. – 152 с.
16. Ming Li., Thiry P., Degiovanni A. Role of multiple dipole scattering in high-resolution electron energy loss spectroscopy // Phys. Rev. B. – 1994. – V. 49, N 17. – P. 11613–11615.
17. Bo Ying Han, Hevesi K., Li-Ming Yu. Heteroepitaxial growth of C_{70} films on MoS_2 (0001) and their characterization by low energy electron diffraction and photoelectron spectroscopy // J. Vac. Sci. Technol. A. Vac. Surf. Films. – 1994. – V. 13, N 3. – P. 1036–1039.
18. Balitskii O.A., Jaeckel B., Jaegermann W. Surface properties of GaTe single crystals // Physics Letters A. – 2008. – V. 372, N 3. – P. 3303–3306.
19. Galiy P.V., Losovyj Ya.B., Nenchuk T.M. et al. Structural studies of (100) cleavage surfaces of In_4Se_3 layered crystals using low energy electron diffraction // 6th Intern. Workshop on Surface Physics. Functional Materials. Prog. and Abst. 1-6 September 2013. (Univ. of Wroclaw, Niemcza, Poland, 2013). – P. 51.
20. Losovyj Ya.B., Klinke M., Galiy P. et al. The electronic structure of surface chains in the layered semiconductor $In_4Se_3(100)$ // Applied Physics Letters. – 2008. – V. 92, N 12. – P. 122107-1–122107-3.
21. Losovyj Ya.B., Makinistian L., Galiy P.V. et al. The anisotropic band structure of layered $In_4Se_3(001)$ // Journal of Applied Physics. – 2008. – V. 104, N 8. – P. 083713-1–083713-7.
22. Ман Л.И., Имамов Р.М., Семилетов С.А. Типы кристаллических структур халькогенидов Ga, In и Tl // Кристаллография. – 1976. – Т. 21, № 3. – С. 628–639.
23. Стажира И.М., Ксьондзык П.Г. Нарушение трансляционной симметрии слоистых кристаллов // Укр. фіз. журн. – 1981. – Т. 26, № 5. – С. 762–769.
24. Ормонт Б.Ф. Введение в физическую химию и кристаллохимию полупроводников. – Москва: Высшая школа., 1973. – 655 с.
25. Shen Erica T., Nancy Yu., Kenneth T. Park, Low-energy electron diffraction and ultraviolet photoemission spectroscopy study of $(1\times 1) TiO_2(110)$. CASPER Summers – Research Experience for Undergraduates (REU) Program, 2009 REU Final Projects. Baylor University, Waco, USA. – 2009. – 7 p.

Надійшла 31.03.2014, прийнята 09.07.2014